

一九五六年全国鐵道科学工作会议
論文報告叢刊
(33)

**半無限粉性介質所傳遞的
荷載的側壓力**

人民鐵道出版社

前　　言

1956年全国鉄道科学工作会议征集了技术报告、总结、论文三百余篇。它的内容，包括铁路业务的各个方面，基本上显示着全体铁路技术人员和有关高等学校教师们几年来在科学技术方面辛勤劳动的成果。对现场实际工作有参考价值，对铁路新技术的采用和发展方向，有启示作用。为此，刊印叢刊，广泛流传，保存这一阶段内的科技文献，以推动科学研究的进一步开展。

会议以后，我们对全部文件进行一次整理工作，然后组织部内设计总局、工程总局、工厂管理局、人民铁道出版社、车务、商务、机务、车辆、工务、电务各局、铁道科学研究院、北京和唐山铁道学院、同济大学、大桥、定型、电务等设计事务所的有关专业同志对每篇内容仔细斟酌，选择其中对目前铁路业务有广泛交流意义，或是介绍铁路新技术方向和系统的经验总结，将性质相近的文件合订一册，单独发行。为了避免浪费，凡是其他刊物或是以其他方式刊印过的文件，除特殊必要外，一般都不再刊载。出版顺序根据编辑和定稿的先后，排定叢刊号码，交付印刷，并无主次之分。

苏联铁道科学代表团在会议期间曾经作过九次学术报告，我们已将文字整理，编入了叢刊。

文件中的论点，只代表作者意见，引用或采用时，还应由採用人根据具体情况选择判断。

叢刊方式还是一种尝试，我们缺少经验，希望读者提供意见，逐步地改进。

铁道部技术局

1957年2月



半無限粉性介質所傳遞的荷載的側壓力

(荷載对擋土牆的側壓力)

吳炳焜

將土当作半無限粉性介質 (Сыпучая среда) 來求它所傳遞的荷載对剛性牆背的側壓力 (通常稱為主動壓力)，到現在为止還沒有在理論上完全研究過。例如在可能有的如圖 1 所示五種情況中，只有均佈荷載而滿佈界面者 (a) 已有解^[1]。這裡想研究一下其他四種荷載的側壓力。

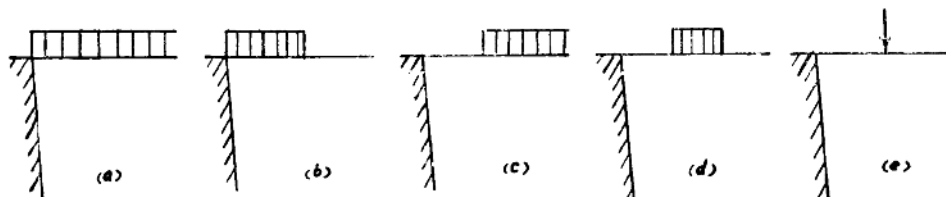


圖 1

以後我們將 (b) 和 (c) 的均佈荷載稱為部分荷載；(d) 为帶荷載，而平面問題中的集中荷載如 (e) 的為線荷載。

(I) 一般理論介紹

依照現今多數人同意的論點，荷載對牆的側壓力應該由牆後介質全部到达極限平衡條件求出。因此側壓力問題可以當作粉性介質的塑性力學中一個邊值問題來解。下面先介紹一下我們要用到的若干基本理論，為說明和計算簡單起見，以後將只考慮介質界面為水平的情況。

(一) 粉性介質的極限平衡——

取牆頂為原點 0， z 軸垂直向下， x 軸水平向右，如圖 2。若介質中任何點的大小主應力用 σ_1 和 σ_2 ($\sigma_1 > \sigma_2$) 表示，大主應力作用綫和 z 軸所成的角度用 θ 代表，那麼該點到达極限平衡時的力學條件為^[1]：

$$\left. \begin{array}{l} \sigma_z \\ \sigma_x \end{array} \right\} = \sigma(1 \pm \sin \phi \cos 2\theta) - H, \quad \tau_{xz} = \sigma \sin \phi \cos 2\theta, \dots \dots \dots \quad (1)$$

式中：

$$\sigma = \frac{1}{2}(\sigma_1 + \sigma_2) + H, \quad H = k \cot \phi,$$

ϕ = 介質的內摩擦角，

k = 介質的粘聚力。

我們知道通過該點兩條裂縫的切線互成 2μ 角，

$$2\mu = \frac{\pi}{2} - \phi,$$

而兩線各和 σ_1 成 μ 角。若將由 σ_1 線反時針方向轉 μ 角而得的裂縫稱為 α 線，其他一條稱為 β 線，那麼由圖2可看出 α 和 β 線分別與 z 軸成 $\theta + \mu$ 及 $\theta - \mu$ 角。

不考慮自重時介質中任何點的應力平衡方程為：

$$\begin{aligned} \frac{\partial \sigma_z}{\partial z} + \frac{\partial \tau_{xz}}{\partial x} &= 0, \\ \frac{\partial \sigma_x}{\partial x} + \frac{\partial \tau_{xz}}{\partial z} &= 0 \end{aligned} \dots \dots \dots \quad (2)$$

式(1)和(2)是極限平衡的基本方程。

若用兩個新變數：

$$\xi = \frac{1}{2} \cot \phi \ln \sigma + \theta, \quad \eta = \frac{1}{2} \cot \phi \ln \sigma - \theta \dots \dots \dots \quad (3)$$

即將式(1)的變數 σ 和 θ 作下列變換：

$$\sigma = \exp[\tan \phi (\xi + \eta)], \quad \theta = \frac{1}{2}(\xi - \eta), \dots \dots \dots \quad (4)$$

然後將該式的應力代入(2)，即得便於應用的極限平衡基本方程^{[1][2]}：

$$\frac{\partial \xi}{\partial z} + \tan(\theta + \mu) \frac{\partial \xi}{\partial x} = 0, \quad \frac{\partial \eta}{\partial z} + \tan(\theta - \mu) \frac{\partial \eta}{\partial x} = 0 \dots \dots \dots \quad (5)$$

這方程組的特徵曲線^{[3][4][5]}方程為：

$$\left. \begin{aligned} dx &= dz \tan(\theta + \mu), \quad d\xi = 0 \\ dx &= dz \tan(\theta + \mu), \quad d\eta = 0 \end{aligned} \right\} \dots \dots \dots \quad (6)$$

很容易看出兩組特徵曲線就是裂縫，因此我們得出下列重要結論：

$$\left. \begin{aligned} \text{在 } \alpha \text{ 線上} & \quad \xi = \frac{1}{2} \cot \phi \ln \sigma + \theta = \text{常數} \\ \text{在 } \beta \text{ 線上} & \quad \eta = \frac{1}{2} \cot \phi \ln \sigma - \theta = \text{常數} \end{aligned} \right\} \dots \dots \dots \quad (7)$$

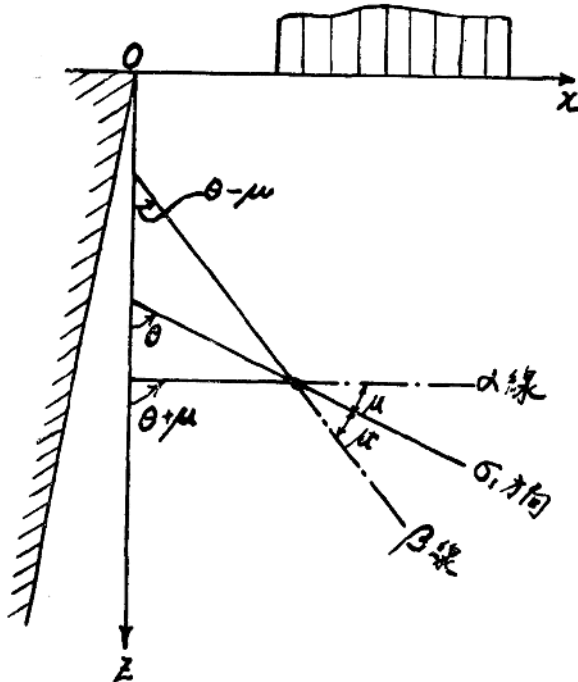


圖 2

若用兩個新變數：

$$\xi = \frac{1}{2} \cot \phi \ln \sigma + \theta, \quad \eta = \frac{1}{2} \cot \phi \ln \sigma - \theta \dots \dots \dots \quad (3)$$

即將式(1)的變數 σ 和 θ 作下列變換：

$$\sigma = \exp[\tan \phi (\xi + \eta)], \quad \theta = \frac{1}{2}(\xi - \eta), \dots \dots \dots \quad (4)$$

然後將該式的應力代入(2)，即得便於應用的極限平衡基本方程^{[1][2]}：

$$\frac{\partial \xi}{\partial z} + \tan(\theta + \mu) \frac{\partial \xi}{\partial x} = 0, \quad \frac{\partial \eta}{\partial z} + \tan(\theta - \mu) \frac{\partial \eta}{\partial x} = 0 \dots \dots \dots \quad (5)$$

這方程組的特徵曲線^{[3][4][5]}方程為：

$$\left. \begin{aligned} dx &= dz \tan(\theta + \mu), \quad d\xi = 0 \\ dx &= dz \tan(\theta + \mu), \quad d\eta = 0 \end{aligned} \right\} \dots \dots \dots \quad (6)$$

很容易看出兩組特徵曲線就是裂縫，因此我們得出下列重要結論：

$$\left. \begin{aligned} \text{在 } \alpha \text{ 線上} & \quad \xi = \frac{1}{2} \cot \phi \ln \sigma + \theta = \text{常數} \\ \text{在 } \beta \text{ 線上} & \quad \eta = \frac{1}{2} \cot \phi \ln \sigma - \theta = \text{常數} \end{aligned} \right\} \dots \dots \dots \quad (7)$$

(二) 边值問題解法——

有些簡單問題，如 ξ 和 η 兩變數中有一個或者二者都為常數時，很容易直接得出解。顯然這時未知邊值可由式(7)和(1)求出，而裂縫方程也可直接積分得出。現將三種簡單情況的結果列出[1]：

(1) $\xi = \text{常數}$ ； $\eta = \text{常數}$ ；裂縫為兩組直線：

$$x = z \tan(\theta \pm \mu) + \text{常數} \quad \dots \dots \dots \dots \dots \dots \quad (8)$$

(2) $\xi = \text{常數}$ ， η 為非常數而在一孤點發生變化；若取孤點為坐標系原點，兩組裂縫如下：

α 縫——螺心在原點的對數螺線，其方程為：

$$\left. \begin{aligned} x &= C \sin(\theta - \mu) \exp(\theta \tan \phi) \\ z &= C \cos(\theta + \mu) \exp(\theta \tan \phi) \end{aligned} \right\} \quad \dots \dots \dots \dots \dots \dots \quad (9)$$

式中 $C = \text{任意常數}$ ；

β 縫——通過原點的放射直線羣。

(3) $\eta = \text{常數}$ ， ξ 為非常數而在一孤點發生變化；若取孤點為坐標系原點，兩組裂縫如下：

α 縫——通過原點的放射線羣。

β 縫——螺心在原點的對數螺線，其方程為：

$$\left. \begin{aligned} x &= C \sin(-\theta + \mu) \exp(-\theta \tan \theta) \\ z &= C \cos(-\theta + \mu) \exp(-\theta \tan \theta) \end{aligned} \right\} \quad \dots \dots \dots \dots \dots \dots \quad (10)$$

式中 $C = \text{任意常數}$ 。

若極限平衡區的 ξ 和 η 都是變數，那麼我們只能用數解法來求得結果了。任意定下已知在邊界上的 ξ 和 η 值的裂縫，由式(6)用近似數算法逐步求出裂縫網的位置，即可算出另一邊界上某些點的未知應力。我們以後將具體應用這樣的數算法。

(三) 模型律——

用數算法求解時模型律（或相似律）[1]佔十分重要地位，因所得結果必須要能用到任何尺寸不同但相似的問題上去。為此一切計算可採用無量網變數進行。例如長度可用新變數：

$$z' = \frac{z}{l}, \quad x' = \frac{x}{l}.$$

l 為求解問題中一有特殊意義的距離；如這裡可用圖3所示 l 值；

應力可用：

$$\sigma_z' = \frac{\frac{\sigma_z + H}{K}}{\frac{P + H}{K}} = \frac{\sigma_z + H}{P + H} = \frac{\sigma_z + H}{P_o}$$

$$\sigma_x' = \frac{\sigma_x + H}{P_o}, \quad \tau_{zx}' = \frac{\tau_{zx}}{P_o}.$$

式中 P =邊界荷載，而 $P_o = P + H$ =邊界當量荷載。又 $\sigma' = \frac{\sigma}{K}$ 。

用了这些無量網新变数極限平衡条件方程为:

$$\left. \begin{array}{l} \sigma'_z \\ \sigma'_x \end{array} \right\} = \sigma'(1 \pm \sin \phi \cos 2\theta), \quad \tau'_{xz} = \sigma' \sin \phi \cos 2\theta$$

而应力平衡方程为:

$$\frac{\partial \sigma'_z}{\partial z'} + \frac{\partial \tau'_{xz}}{\partial x'} = 0, \quad \frac{\partial \tau'_{xz}}{\partial z'} + \frac{\partial \sigma'_x}{\partial x'} = 0;$$

而且 ξ 和 η 也成为無量網的了。兩組裂縫方程仍为式 (7)，不过所有变数都应加撇号，即为無量網的罢了。这样做所得結果是一个『單元模型』的值——長度單位为 l ，应力單位为 P_0 ——它可任意縮小或放大去適應一切問題。关于模型律的运用我們以后还会提到。

(II) 部分荷載的側压力問題解法

在圖 1 中所示 (b) 和 (c) 兩种部分荷載情况只要解出一种就可由叠加原理得出其他兩种情况的側压力。例如求出 (b) 側压力后那么由 (a) 和 (b) 的叠加可得 (c)。而且求出 (b) 的解后又可容易地得出帶荷載和綫荷載的解。因此我們选 (b) 情况作为基本研究对象。

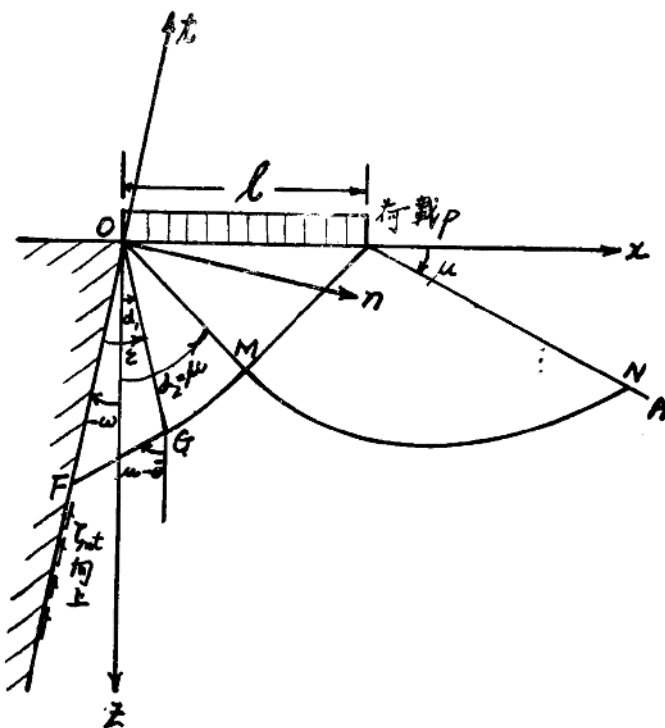


圖 3

如圖 3 所示牆后介質界面若有宽度为 l 的均佈荷載 P ，当介質到达極限平衡时 O 和 E 是两个孤点。可將整个極限平衡区分为荷載区和牆背区兩区。前者一切是已知的，我們須

求后者的牆背边界上应力值。孤点 O 是兩区的共同点，而 E 是 $z = 0$ 的加载和未加载界面的共同点。

在 O 和 E 兩点以內的荷載区边界上 $\sigma_z = \sigma_1 = P$, $\theta = 0$ 。該区界綫 OM 是 α 線而 EM 是 β 線。由式(1)可求出 OME 区的：

$$\sigma = \frac{P + H}{1 + \sin \phi}, \quad \theta = 0 \dots \dots \dots \dots \dots \dots \dots \quad (11)$$

E 点以右界面下介質在荷載 P 作用下在受動状态， $\theta = \frac{\pi}{2}$ ， EA 線是荷載区右界，它是条 β 線。对求牆上側压力講只 EA 線以左介質应力狀況是有影响的。

在孤点 E , θ 由零变至 $\frac{\pi}{2}$ ，也即通过該点的 β 線由 $\eta_1 = \frac{1}{2} \cot \phi \ln \frac{P + H}{1 + \sin \phi}$ 的 EM 線变到 $\eta_2 = \frac{1}{2} \cot \phi \ln \frac{P + H}{1 + \sin \phi} + \frac{\pi}{2}$ 的 EN 線。在 E 点 α 線的長度为零，它的 ξ 值不变。这 EMN 組成了一个 $\xi = \text{常数}$ 而 η 漸变的轉变区，它的 β 線为通过 E 点的放射綫羣而 α 線为对數螺綫。該区界綫 $MN - \alpha$ 線的方程經应用式(9)变换坐标系和求出常数 C 代入后为：

$$\left. \begin{array}{l} x = l + 0.5 l \csc \mu \sin(\theta - \mu) \exp(\theta \tan \phi) \\ z = 0.5 l \csc \mu \cos(\theta - \mu) \exp(\theta \tan \phi) \end{array} \right\} \dots \dots \dots \dots \dots \dots \quad (12)$$

作为荷載区界綫的 α 線 OMN 因此是全知的了；它的 $\xi = \frac{1}{2} \cot \phi \ln \frac{P + H}{1 + \sin \phi}$ 而 η 值由上述的 η_1 漸变到 η_2 。現在我們的問題是要由已知的孤点 O 和邊綫 OMN 去求牆背上的应力值。

由于須求的是側压力，所以牆背上的应力最好以法向应力 σ_n 和剪应力 τ_{nt} 計。若牆背和 z 軸所成傾斜角 ω 以反時針方向为正，而 t 为牆背綫方向， n 为它的法綫方向，那么 n , t 坐标系可由將 z , x 系旋轉 $\frac{l}{2} + \omega$ 而得，如圖 3 所示，很容易將式(1)变到：

$$\left. \begin{array}{l} \sigma_n \\ \sigma_t \end{array} \right\} = \sigma [1 \mp \sin \phi \cos 2(\theta - \omega)] - H \quad \left. \begin{array}{l} \\ \tau_{nt} = -\sigma \sin \phi \sin 2(\theta - \omega) \end{array} \right\} \dots \dots \dots \dots \dots \quad (12)$$

若牆背和介質間的摩擦角为 δ ，求主动的側压力时牆对介質的摩擦力是向上的，即照圖 3 的 n , t 坐标系 τ_{nt} 为正，所以牆背边界条件为：

$$\tau_{nt} = (\sigma_n + H) \tan \delta \quad [\text{註}] \dots \dots \dots \dots \dots \quad (13)$$

將式(12)的 σ_n 和 τ_{nt} 代入式(13)即可求出牆背区的 θ 值如下(1)：

$$2\theta = 2\omega + \delta - \arcsin \frac{\sin \delta}{\sin \phi} \dots \dots \dots \dots \dots \quad (14)$$

將上式 θ 值代回式(12)我們得牆背应力：

$$\left. \begin{array}{l} \sigma_n = \sigma \cos \delta (\cos \delta - \sqrt{\sin^2 \phi - \sin^2 \delta}) - H \\ \tau_{nt} = (\sigma_n + H) \tan \delta \end{array} \right\} \dots \dots \dots \dots \dots \quad (15)$$

通过孤点 O 的作為牆背区界綫的 α 線和 z 軸所成角度 $\alpha_1 = \overline{\theta} + \mu$ (即圖 3 的 OG 線)；而荷載区界綫 OM 和 z 軸成 $\alpha_2 = \mu$ 角。 σ 和 θ 值如何由荷載区轉变到牆背区完全要看 α_1 比 α_2 值大或小了。讓我們分別地來考察一下可能有的各种解：

[註] 在粉性介質的塑性力学中我們依照参考文献 [1] 採用这样的牆摩擦角定义；对沙講它和常用者完全相同。

(1) 連續解——

連續解指 $\alpha_1 \leq \alpha_2$ 时荷載区和牆背区無重叠所得的解。 $\alpha_1 \leq \alpha_2$ 即 $\bar{\theta} \leq 0$ ；由式 (14) 可知这种解只有在牆背倾斜角 ϕ 符合下列条件才有可能：

$$\omega \leq \omega_0, \quad 2\omega_0 = -\delta + \arcsin \frac{\sin \delta}{\sin \phi} \dots \dots \dots \quad (16)$$

一般地講，当牆向后仰（即 ω 为負的）或傾斜較少（即 ω 为正的，但數值小）都可得連續解。还可注意牆背区界綫和牆背所成角度，即圖 3 的 ε 角，是僅隨 ϕ 和 δ 而變的，即：

$$2\varepsilon = 2(\bar{\theta} + \mu) - 2\omega = 2\mu + \delta - \arcsin \frac{\sin \delta}{\sin \phi} \dots \dots \dots \quad (17)$$

求連續解时荷載区与牆背区既不重叠，中間就必定有一轉弯区。在圖 3，通过 O 点的 α 線由 $\xi_1 = \frac{1}{2} \cot \phi \ln \frac{P+H}{1+\sin \phi}$ 的 OMN 線漸变到 $\xi_2 = \frac{1}{2} \cot \phi \ln \frac{P+H}{1+\sin \phi} + \bar{\theta}$ 的某一条曲綫，这曲綫的前段 OG 是條直綫。在 O 点 η 值不变。

OGM 区的界綫 GM 方程由式 (10) 应为：

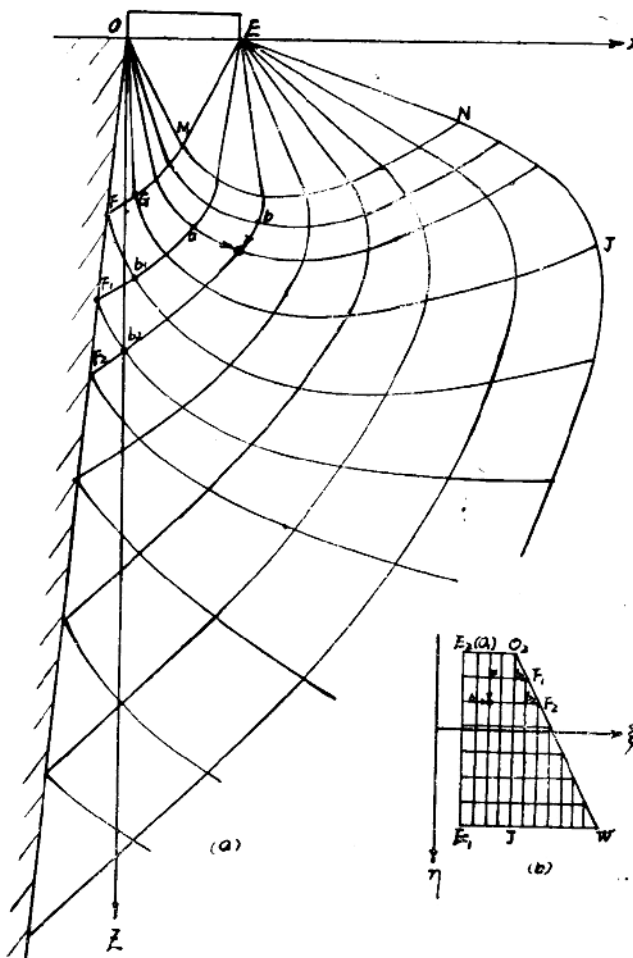


圖 4

$$\begin{cases} x = 0.5 \csc \mu \sin(\theta + \mu) \exp(-\theta \tan \phi) \\ z = 0.5 \csc \mu \cos(\theta + \mu) \exp(-\theta \tan \phi) \end{cases} \quad (18)$$

由G点通向牆背的FG綫顯然地和垂綫順時針方向成($\mu - \theta$)角。

現在再由圖4(a)詳細地說明一下連續解求法。

这里荷載区和牆背区都各有一 ξ 和 η 均为常数的最簡單区域，裂綫均为兩組直綫。荷載区的最簡單区域为OME，

該区中: $\xi = \eta = \frac{1}{2} \cot \phi \ln \frac{P+H}{1+\sin \phi}$;

牆背区者为OGF；該区中:

$$\begin{cases} \xi \\ \eta \end{cases} = \frac{1}{2} \cot \phi \ln \frac{\sigma_n + H}{\cos \delta (\cos \delta - \sqrt{\sin^2 \phi - \sin^2 \delta})} \pm \left(2\omega + \delta - \arcsin \frac{\sin \delta}{\sin \phi} \right)$$

因兩区有共同点O其 η 值不变，所以令上列兩区 η 值相等即得牆背OF段上的均佈側压力值：

$$\begin{aligned} \sigma_n + H &= (P+H) \frac{\cos \delta (\cos \delta - \sqrt{\sin^2 \phi - \sin^2 \delta})}{1 + \sin \phi}, \\ &\exp \left[(2\omega + \delta - \arcsin \frac{\sin \delta}{\sin \phi}) \tan \phi \right] \end{aligned} \quad (19)$$

这是早已誘導出來的⁽¹⁾，如圖1(a)界面滿佈荷載時牆背的均佈側压力公式。

現須用數算法求MNJG轉變区中的裂綫網。該区一条已知邊綫为 α 綫MN，他的 ξ 为定值， η 值隨 θ 而变即：

$$\eta = \xi - 2\beta.$$

可將MN段的 θ 增量依精确度需要分成若干份，那應該綫上若干点的 ξ 和 η 值都是定值。在圖4(b)中的 ξ ， η 坐标系上MN为平行於 η 軸的 E_1E_2 綫，其 η 增量如上述分成若干份。轉變区另一已知邊綫为GM綫，他的 η 值为定值而 ξ 值隨 θ 而变，即：

$$\xi = \eta + 2\beta;$$

同样將GM綫的 θ 值增量分若干份即可求出該綫上若干点的 ξ 和 η 定值。在圖4(b)上該綫由 O_1O_2 代表。

轉變区MNJG內裂綫網交点的 ξ 和 η 值已如上述定下，即為圖4(b)矩形 $E_1E_2O_2J$ 內縱橫兩組直綫的交点值，那么这些点的坐标值就可应用數算約略法求出，即將式(6)寫成

$$\Delta x = \Delta z \tan(\theta_a + \mu),$$

$$\Delta z = \Delta x \tan(\theta_\beta - \mu).$$

然后解聯立方程求出。这里 θ_a 和 θ_β 要精确些可取兩組裂綫在兩端 θ 的平均值⁽¹⁾⁽²⁾。如圖4所示轉變区中任何一裂綫網交点的坐标值即可由 α 和 β 綫上兩鄰点 a 和 b 的已知值表出，即：

$$x - x_a = (z - z_a) \tan(\theta_a + \mu),$$

$$x - x_b = (z - z_b) \tan(\theta_\beta - \mu).$$

解上列联立方程得：

$$\left. \begin{aligned} z &= \frac{z_a \tan(\theta_a + \mu) - x_a - z_b \tan(\theta_b - \mu) + x_b}{\tan(\theta_a + \mu) - \tan(\theta_b - \mu)} \\ x &= x_a + (z - z_a) \tan(\theta_a + \mu) \end{aligned} \right\} \quad (20)$$

而且又有：

$$\xi = \xi_a, \quad \eta = \eta_b; \\ \theta_a = \frac{1}{2}(\theta_a + \theta), \quad \theta_b = \frac{1}{2}(\theta_b + \theta).$$

这样从已知边缘出发可逐点求出裂纹交点直到图 4 (a) 的 GJ，即 (b) 的 $O_2 J$ 为止。

GJ 线求出后须求墙背区裂纹是塑性力学中另一类边值问题。可由图 4 直接说明他的解法。例如图上的 b_1 点是已知的。通过该点的 β 线和墙背相交时应符合该处边界条件：

$$x = z \tan \omega \\ \text{和 } \theta = \bar{\theta} = \text{式 (14) 值} = \text{常数}.$$

若将 $x = z \tan \omega$ 代入

$$x - x_b = (z - z_b) \tan(\theta_b - \mu)$$

我们得墙背 F'_1 点：

$$\left. \begin{aligned} z &= \frac{z_b \tan(\theta_b - \mu) - x_b}{\tan(\theta_b - \mu) - \tan \omega}, \quad x = z \tan \omega \\ \xi &= \eta + 2 \bar{\theta} = \eta_b + 2 \theta, \quad \eta = \eta_b \end{aligned} \right\} \quad (21)$$

得了 F'_1 点值后即可用式 (20) 求出 b_2 点值，然后再求出 F'_2 点值。这样由图 4 (a) 的已知边缘 GJ，即 (b) 图的 $O_2 J$ ，出发循环地应用式 (20) 和 (21) 可求出相应于某 ξ 和 η 值（及其侧压力值）的墙背点坐标值。图 4 (b) 的斜边 $O_2 W$ 代表墙背线。计算墙背各点侧压力用式 (4) 和 (15)。

(2) 间断解——

若 $a_1 > a_2$ 荷载区和墙背区重叠了，连续解就成为不可能。由图 3 看若 ϕ 和 δ 为定值 ϵ 也是定值；当墙背内转倾斜角 θ 增大到超过式 (16) 值，OG 线反将越过 OM 线，即两区有重叠部分了。在这情况下求出的解称为间断解。

两区重叠部分是突变区，应力必定要发生剧烈变化。若想像这突变区极度地缩小宽度成为一条线即得所谓间断线。在间断线上裂纹和应力都发生突变。就物理意义讲间断线好像夹在极限平衡区中一片完全可弯曲但不能伸缩的薄弹性片 [2][6]。间断线 RR

(图 5) 两边应力如何突变可由应力平衡考虑推断 [1][2][6][7][8]。由应力平衡方程看 σ_n 和 τ_{nt} 跨过 RR 线在 n 轴向是必须连续的，但 σ_z 在 n 轴向并没有这个要求，因此它可以发生突变。如图 5 σ_n 和 τ_{nt} 跨过 RR 线两边相同而 σ_z 可跳到 $\bar{\sigma}_z$ 值。我们这里若以上加短横道值如 $\bar{\theta}$ ， $\bar{\sigma}$ 等代表墙背区值，而不加短横道者代表荷载区值，根据

$$\sigma_n = \bar{\sigma}_n, \quad \tau_{nt} = \bar{\tau}_{nt},$$

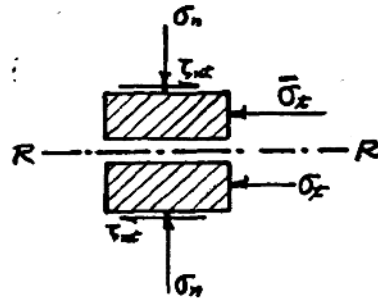


图 5

由式 (12) 可寫出間斷綫須遵守条件, ψ 为該綫和 z 軸所成角度:

$$\sigma[1 - \sin\phi \cos 2(\theta - \psi)] = \bar{\sigma}[1 - \sin\phi \cos 2(\bar{\theta} - \psi)] \\ \sigma \sin 2(\theta - \psi) = \bar{\sigma} \sin 2(\bar{\theta} - \psi)$$

这里牆背区的 $\bar{\theta}$ 为式 (14) 不随坐标值而变的定值, 而 θ 是变数。解上列联立方程得間断綫方程:

$$\tan\psi = \frac{dx}{dz} = \frac{\sin(\theta + \bar{\theta}) + \sqrt{1 - \sin^2\phi \cos^2(\theta - \bar{\theta})}}{\cos(\theta + \bar{\theta}) + \sin\phi \cos(\theta - \bar{\theta})} \dots\dots\dots (22)$$

而跨过間断綫 σ 变为 $\bar{\sigma}$,

$$\bar{\sigma} = \frac{\sigma}{\cos^2\phi} \left[\sin\phi \sin(\theta - \bar{\theta}) - \sqrt{1 - \sin^2\phi \cos^2(\theta - \bar{\theta})} \right] \dots\dots\dots (23)$$

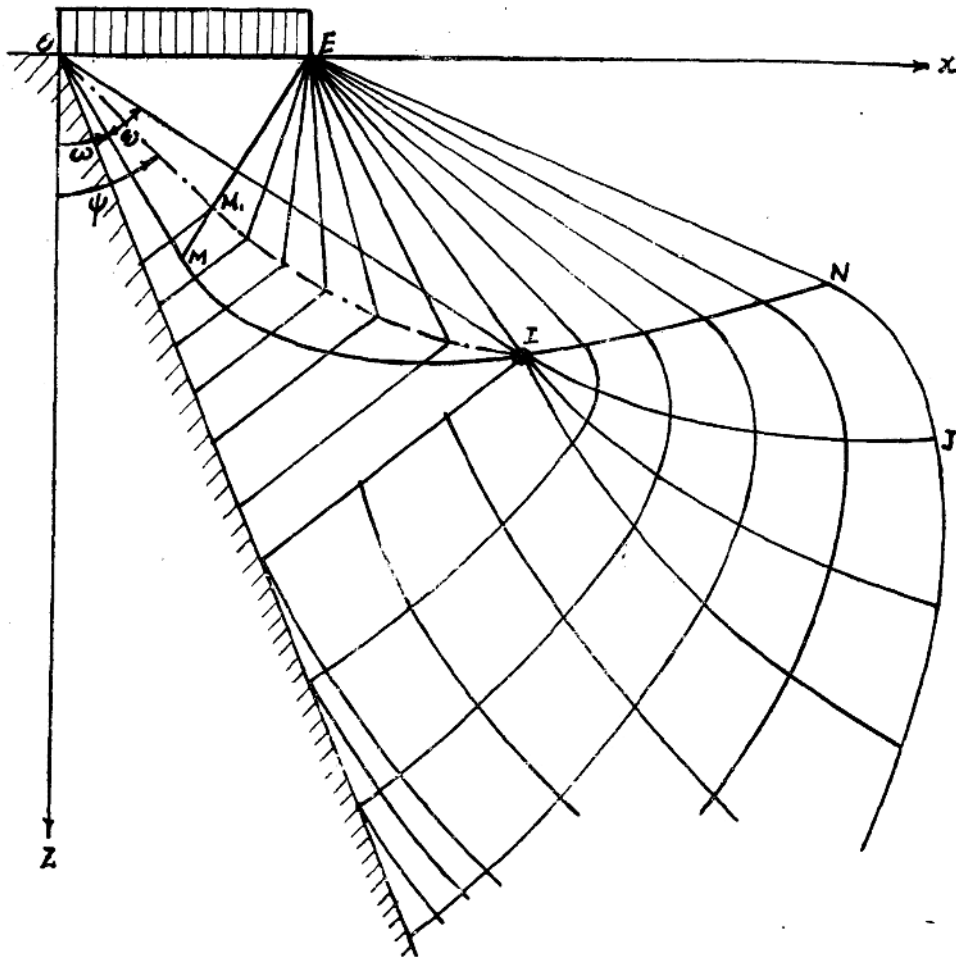


圖 6

在求間斷解時可選些荷載區的 θ 為定值的 β 線，用數解法求出式 (22) 所給間斷線位置即可知道這些 β 線過間斷線後和牆背的交點。牆背點相應的應力值可用式 (23) 和 (15) 求出。

但在我們這問題上不可能得完全間斷解。可由圖 6 來說明。

該圖示 $\omega < \mu$ ，但 $\omega + \epsilon > \mu$ ，即牆背區（界綫為 OI 線）和荷載區重疊，但牆背線還沒進入荷載區。 I 點為牆背區界綫和荷載區界綫 F 段 MN 的交點，牠的坐標可由解 F 列聯立方程求出：

$$X = Z \tan(\omega + \theta)$$

$$\text{和 } X = l + 0.5 l \csc \mu \sin(\theta - \mu) \exp(\theta \tan \phi)$$

$$Z = 0.5 l \csc \mu \cos(\theta - \mu) \exp(\theta \tan \phi)$$

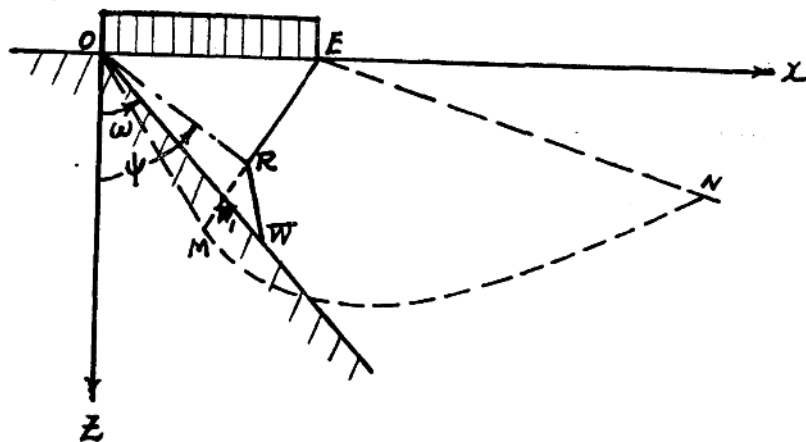


圖 7

由這樣解出的 θ 值所定出的 β 線 EI 也就限制了間斷解能應用的最近範圍。圖中所示 $O M_1 I$ 是用式 (22) 求出的間斷線， OM_1 为直線段， $M_1 I$ 是條曲線。 I 點因此成為間斷和連續解的分界點而組成了另一孤點。連續解的轉變區 $INJI$ 內裂綫網可由已知邊綫 IN 和孤點 I 出發用式 (20) 求出。進入牆背區後也可用前講方法同樣求出。

所以正確些講這種所謂間斷解應該稱之為間斷～連續解。

牆背傾斜角再加大，如 $\omega > \mu$ ，即牆背線進入荷載區，情形又不同了。這時如圖 7 所示荷載區 α 線 OMN 不可能實現，應力也不會向右傳遞而發生受動狀態。荷載區現在僅限於簡單區域 OME 的一部分，即 OW_1E 。這時可得特殊的全間斷解，但牆背只

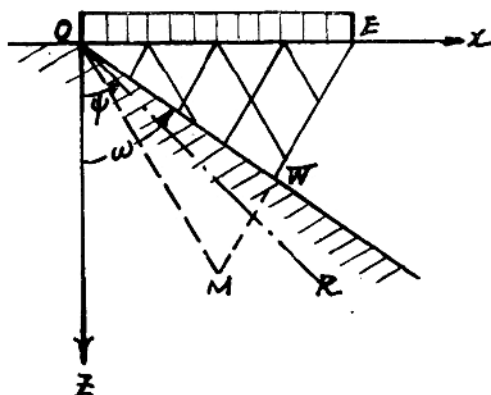


圖 8

OW 段受到荷載的均佈側壓力， W 点以下牆上不受壓力了。

(3) 單區解——

但並非牆背傾斜角不斷加大永遠可得間斷解的。當 $\omega > \mu$ 而求出的間斷線 OR 位置進入牆內去了(見圖 8)，即 $\psi < \omega$ ，那麼顯然間斷解又成為不可能的了。這時荷載區仍為簡單區域 OME 的一部分，而牆背上側壓力只能由將牆背線當作 OME 區內一條綫求出它的應力值，即無法考慮牆背邊界條件了。因為這種解只考慮到簡單荷載區應力情況，我們姑稱之為“單區解”。當然因此而得的應力值將會有：

$$\tau_{nt} \neq (\sigma_H + H) \tan \delta$$

情況，但從應力值反求過來的 δ' 值必須符合 $\delta' \leq \phi$ ，否則就不能用極限平衡求側壓力了。用式 (12) 直接可寫單區解的側壓力值。

$$\left. \begin{aligned} \sigma_n + H &= \frac{1 - \sin \phi \cos 2\omega}{1 + \sin \phi} (P + H) \\ \tau_{nt} &= \frac{\sin \phi \cos 2\omega}{1 + \sin \phi} (P + H) \end{aligned} \right\} \quad (24)$$

這均佈側壓力只在牆背 OW 段上才有。

單區解 $\omega \geq \psi$ ， ψ 值可令 $\theta = 0$ 的 (22) 式求出，即：

$$\tan \psi = \frac{\sin \theta + \sqrt{1 - \sin^2 \phi \cos^2 \theta}}{\cos \theta + \sin \phi \cos \theta} = \frac{\tan \theta + \sqrt{\tan^2 \theta + \cos^2 \phi}}{1 + \sin \phi} \quad \left. \right\} \quad (25)$$

式中 $2\bar{\theta} = 2\omega + \delta - \arcsin \frac{\sin \delta}{\sin \phi}$ 。

現在將因牆背傾斜角 ω 不同可能有的各種解總列如下：

(一) 連續解 $\omega \leq \omega_0$ $2\omega_0 = -\delta + \arcsin \frac{\sin \delta}{\sin \phi}$

(二) 間斷連續解 $\omega_0 < \omega \leq \omega_1$ $\omega_1 = \mu$

(三) 間斷解 $\omega_1 < \omega < \omega_2$ ω_2 由式 (25) 算出

(四) 單區解 $\omega \geq \omega_2$ “

(III) 算例

為說明 (II) 所講原理並資以後比較研究依據，我們在這裡具體計算一下 $\phi = 30^\circ$ ，
 $\delta = \frac{2}{3}\phi = 20^\circ$ 的介質所傳遞的部分荷載對牆背的側壓力分佈。

首先計算幾個牆背傾斜角臨界值：

$$(a) 2\omega_0 = -\delta + \arcsin \frac{\sin \delta}{\sin \phi} = 23^\circ 10' \quad \therefore \omega_0 = 11^\circ 35'$$

$$(b) \omega_1 = \mu = \frac{\pi}{4} - \frac{\phi}{2} = 30^\circ$$

$$(c) 2\bar{\theta} = 2\omega_2 + \delta - \arcsin \frac{\sin \delta}{\sin \phi} = 2\omega_2 - 23^\circ 10' \\ \therefore \bar{\theta} = \omega_2 - 11^\circ 35'$$

$$\text{將此 } \bar{\theta} \text{ 值代入} \quad \tan \omega_2 = \frac{\tan \bar{\theta} + \sqrt{\tan^2 \bar{\theta} + \cos^2 \phi}}{1 + \sin \phi}$$

$$\text{經試算求得} \quad \omega_2 = 58^\circ 20'$$

(一) 緊靠牆頂介質面有寬度為 l 的均佈荷載 P (圖 9)

(1) 連續解——

取 $\omega = 0$, 即牆背垂直。數算時一般用無量網值, 但為書寫便利起見將撇號取消。為不使有負數出現取 $P = 80K$, $\therefore P_0 = \frac{P+H}{K} = 80 + \cot 30^\circ = 81.732$,

(a) 边緣 MN (圖 4) ——

M 点 $\theta = 0$, N 点 $\theta = \frac{\pi}{2}$; 將這 90° 的 θ 增量分成十一份 (靠 EA 線近的分密些), 即在 MN 線上固定了共十二點。在 M 点,

$$\xi = \eta = \frac{1}{2} \cot 30^\circ \ln \frac{81.732}{1 + \sin 30^\circ} = 3.462,$$

其他各点 ξ 值不变, η 隨 θ 值而變, 由

$$\eta = 3.462 - 2\theta$$

求出。這些點的坐標值用式 (12) 求出 (但注意這裡我們用的是 $\frac{x}{l}$ 和 $\frac{Z}{l}$ 無量網值)。

(b) 边緣 MG 及牆背點 F —— M 点 $\theta = 0$, G 点的

$\theta = \bar{\theta} = \frac{1}{2} \left(\delta - \arcsin \frac{\sin \delta}{\sin \phi} \right) = -11^\circ 35'$ 。將 θ 增量等分为兩份, 即 MG 上共固定三點。 M 点的 $\eta = \xi = 3.462$, 其他兩點 η 不變而 ξ 由 $\xi = 3.462 + 2\theta$ 求出。這些點的坐標值用式 (18) 求出。牆背點 F 的 ξ 和 η 值與 G 点的相同, 其坐標值由 $Z = Z_G + X_G \tan(\mu - \theta)$ 求出。

(c) 將 MN 边緣各點值列入表 1 第一直行 1-1, 1-2, 1-3……1-12, MG 列入該表一橫行 1-1, 2-1, 3-1。 F 点為該橫行末一點 4-1。

(d) 表 1 由橫直已知邊緣組成的矩形中各裂縫網交點的 ξ 和 η 值可直接填入, 其坐標值用式 (20) 求出。該表斜邊 4-1, 5-2, 6-3……15-12 代表牆背線。斜邊的 η 值等於每一橫行 η 線的 η 值而 ξ 值由 $\xi = \eta + 2\theta$ 求出。斜邊各點坐標值用式 (21) 而斜邊以下仍用式 (20) 求出。計算結果見表 1。注意, 這表的形式完全和圖 4 (b) 相同。

(e) 圖 10(a) 和 (b) 表示表 1 所給裂縫網的形狀。

(f) 算出牆背各點 ξ 和 η 值後其

$$\sigma = \exp[\tan \phi(\xi + \eta)],$$

而 $P = 80K$ 的無量網側壓力值, 用 Q 和 T 代表, 利用下式

$$Q = \sigma \cos \delta (\cos \delta - \sqrt{\sin^2 \phi - \sin^2 \delta})$$

$$T = Q \tan \delta$$

即可求出, 列表如表 2。

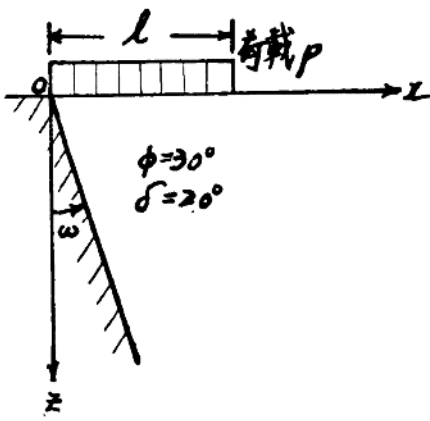


圖 9

表 2

Z	0	1.381	2.015	2.917	4.298	6.185	9.238	14.064	21.870	34.566	43.556	47.005	53.761
ξ	3.058	3.058	2.709	2.360	2.011	1.662	1.313	0.964	0.615	0.266	0.091	0.004	-0.084
η	3.462	3.462	3.113	2.764	2.415	2.066	1.717	1.368	1.019	0.670	0.495	0.408	0.321
$\xi + \eta$	6.520	6.520	5.822	5.124	4.426	3.728	3.030	2.332	1.633	0.936	0.586	0.412	0.237
σ	43.140	43.140	28.830	19.270	12.886	8.604	5.750	3.842	2.568	1.716	1.403	1.260	1.147
Q	23.310	23.310	15.579	10.410	6.957	4.649	3.107	2.076	1.388	0.927	0.758	0.685	0.620
T	8.484	8.484	5.670	3.789	2.532	1.692	1.131	0.756	0.505	0.338	0.276	0.250	0.226

(g) 現在可計算一下牆背各點在任何荷載 P 作用下的側壓力值。由於在 $P=80K$ 荷載作用下側壓力值為

$\sigma_n + H = KQ$, $\tau_{nt} = KT$, 所以單位當量荷載作用下的側正力為 $\sigma_n + H = \frac{Q}{81.732}$, $\tau_{nt} = \frac{T}{81.732}$, 而在荷載 P 作用下 $\sigma_n + H = \frac{Q}{81.732}(P+H)$, $\tau_{nt} = \frac{T}{81.732}(P+H)$ 。令 $\lambda = \frac{Q}{81.732}$, $\lambda_t = \frac{T}{81.732}$, 我們可寫出側壓力公式:

$$\sigma_n = \lambda P - (1-\lambda)H, \quad \tau_{nt} = \lambda_t(P+H) \quad \dots \dots \dots \quad (26)$$

用表 2 的 Q , T 值計算所得的 λ 和 λ_t 值見表 3。

表 3

Z	0	1.381	2.015	2.917	4.298	6.185	9.238	14.064	21.870	34.566	43.556	47.005	53.761
λ	0.285	0.285	0.191	0.127	0.085	0.057	0.038	0.025	0.017	0.011	0.009	0.008	0.008
λ_t	0.104	0.104	0.069	0.046	0.039	0.021	0.014	0.009	0.006	0.004	0.003	0.003	0.003

對沙性土講 $H=0$, 我們得側壓力公式:

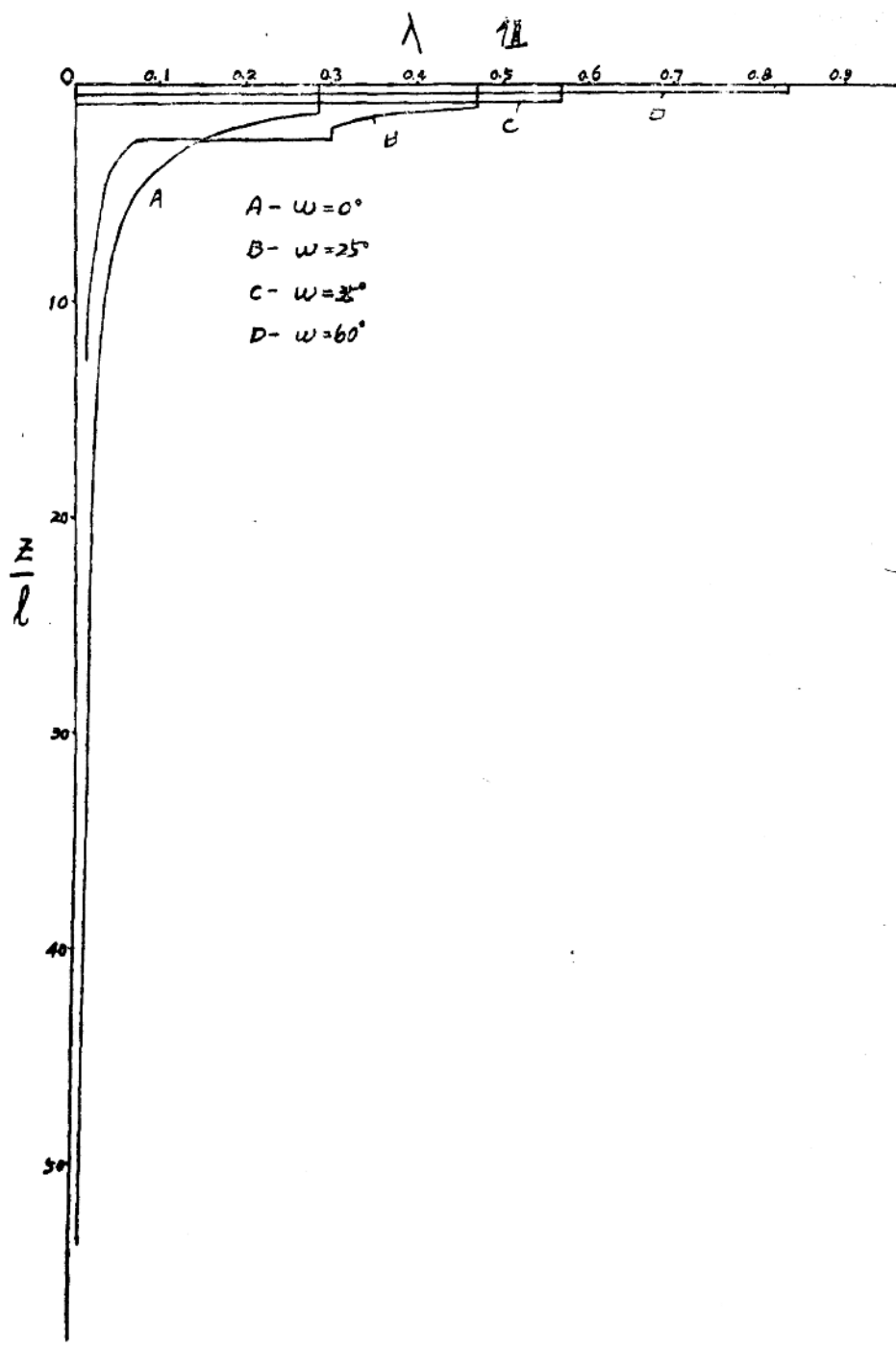
$$\sigma_n = \lambda P, \quad \tau_{nt} = \sigma_n \tan \delta \quad \dots \dots \dots \quad (27)$$

因為粘性土的側壓力性質很復雜, 用極限平衡理論求出的結果, 即式 (26) 和實際情況很有出入, 所以在應用時最好只用式 (27)。將表 3 的 $Z' = \frac{Z}{l}$ 對 λ 作出曲線即圖 11 的 A。在 $\frac{Z}{l} = 1.381$ 范圍以內牆上側壓力是均佈的, $\lambda = 0.285$, 這和用式 (19) 計算所得者相同。這深度以下因界面只有部分荷載, 側壓力就急劇減少了。若當 $\lambda < 0.1$ 就可看作無側壓力, 那麼這部分荷載對牆有側壓力影響只到約 $\frac{Z}{l} = 40$ 。為便於比較起見另列 $\frac{Z}{l}$ 為整數值的 λ 值如表 4。

表 4

Z/l	1.38	2.00	3.00	5.00	10.00	20.00	30.00	40.00
λ	0.285	0.193	0.125	0.075	0.036	0.019	0.013	0

(h) 牆上側壓力的分佈完全要看牆高 h 對荷載寬度 l 的比值。 h/l 值越大牆下部受



的侧压力越小。为清楚地看出墙上侧压力分佈情形，在圖12上作了些各 h/l 值的随深度变化的曲线。

(2) 間斷～連續解——

取 $\omega=25^\circ$ 。令 $P=K$ ，則 $P_o=\frac{P+H}{K}=2.732$ 。

(a) 先求牆背区和荷載区界綫的交点I(見圖6)的 θ 值。 $\epsilon=\mu+\frac{1}{2}(\delta-\arcsin\frac{\sin\delta}{\sin\phi})=18^\circ 25'$ 。解联立方程

$$x=Z\tan 43^\circ 25'$$

和

$$x=1+\sin(\theta-30^\circ)\exp(\theta\tan 30^\circ)$$

$$Z=\cos(\theta-30^\circ)\exp(\theta\tan 30^\circ)$$

得I点的 $\theta=46^\circ 19'$ 。这 θ 值是間斷和連續解的分界。

(b) 間斷解的間斷綫OM₁段是条直線，牠和Z軸所成 ψ 角可直接用式(22)算出，式中 $\theta=0^\circ$ ， $\overline{\theta}=\omega+\frac{1}{2}\left(\delta-\arcsin\frac{\sin\delta}{\sin\phi}\right)=18^\circ 25'$ 墙'上側压力值用式(23)和(15)算出。

(c) 某些 θ 定值，如 $10^\circ, 20^\circ, \dots$ 的間斷綫点可用式(22)約略地求出。算出任一 θ 值点的間斷綫坡度 $\tan\psi$ ，取該点和前一点的 ψ 平均而將 $\tan\psi$ 平均=A当作該段坡度。若 x_0, Z_0 為該 θ 值的間斷綫点坐标值，而 x_1, Z_1 為前一点的坐标值，解下列联立方程

$$x-x_1=(Z-Z_1)$$

$$x=Z\tan(\theta-30^\circ)+1$$

即得 x_0 和 Z_0 ：

$$Z=Z_0=\frac{AZ_1-x_1+1}{A-\tan(\theta-30^\circ)}$$

$$x=x_0=Z_0\tan(\theta-30^\circ)+1$$

表 5

θ	0°	10°	20°	30°	40°	$46^\circ 19'$
$\tan\psi$	0.758	0.892	1.066	1.298	1.627	1.917
ψ	$37^\circ 9'$	$41^\circ 44'$	$46^\circ 49'$	$52^\circ 23'$	$58^\circ 25'$	$62^\circ 27'$
ψ 平均	—	$39^\circ 27'$	$44^\circ 17'$	$49^\circ 36'$	$55^\circ 24'$	$60^\circ 26'$
$A=\tan\psi$ 平均	—	0.823	0.975	1.175	1.450	1.763
間斷点綫	Z°	0.749	0.834	1.028	1.245	1.418
	x°	0.568	0.678	0.818	1.000	1.250
牆 背 点	Z	1.035	1.232	1.463	1.794	2.189
	x	0.483	0.575	0.682	0.837	1.021
$\delta=\left(\frac{2.732}{1+0.5\cos 2\theta}\right)$	1.821	1.859	1.975	2.186	2.514	2.796
$\bar{\delta}$	2.379	1.991	1.730	1.574	1.507	1.508
Q	1.285	1.076	0.935	0.851	0.814	0.815
T	0.468	0.392	0.340	0.310	0.296	0.297